

**НЕДИАГРАММНЫЕ ПЕРЕХОДЫ  
В ПОЛЯРИЗОВАННЫХ РЕНТГЕНОВСКИХ  
 $\text{Cu}L_3$ -СПЕКТРАХ ПОГЛОЩЕНИЯ ВТСП-КЕРАМИК**

© П.В.Аврамов, С.Г.Овчинников

Институт физики им. Л.В.Киренского  
Сибирского отделения Российской академии наук,  
660036 Красноярск, Россия  
(Поступила в Редакцию 21 марта 1996 г.)

Влияние эффектов сильных электронных корреляций на поляризованные рентгеновские  $\text{Cu}L_3$ -спектры поглощения исследовалось в рамках расширенной  $p-d$ -модели и приближения внезапного возмущения. Структура вакантных запороговых одноэлектронных  $\text{Cu}z$ - и  $\text{Cu}d$ -состояний моделировалась в рамках метода самосогласованного поля  $X_\alpha$ -рассеянных волн. Результаты расчета хорошо согласуются с экспериментальными данными для  $\text{La}_{2-x}\text{Sr}_x\text{CuO}_4$  и  $\text{YBa}_2\text{Cu}_3\text{O}_{7-\delta}$ .

До настоящего времени механизм образования рентгеновских  $\text{Cu}L_3$ -спектров поглощения ВТСП-керамик изучался либо в рамках классического одноэлектронного приближения методом многократного рассеяния (см., например, [1,2]), либо при помощи многоэлектронных расчетов, основанных на модели Андерсона [3]. Первый подход не позволяет описывать эффекты сильных электронных корреляций, которые, как было показано в [4], играют заметную роль в механизме образования этих спектров, второй же подход сильно упрощает картину поглощения, сводя спектр к одной белой линии, что не позволяет исследовать сложную запороговую область.

В настоящее время существует достаточно много экспериментальных данных [3,5], указывающих на то, что в медьсодержащих ВТСП-оксидах механизмы образования  $\text{Cu}L_{2,3}$ -спектров существенно отличаются от простой одноэлектронной картины, основанной на модели кристаллического поля. Эти отличия прежде всего выражаются в проявлении в спектрах электронных переходов в состояния, отсутствующие в этой модели, — так называемых недиаграммных переходов. Эти особенности формируются или за счет различных эффектов сильных электронных корреляций, или же за счет рассеяния фотоэлектронов на возможных потенциальных барьерах, формируемым атомами окружения, и природой химической связи в исследуемых соединениях. Наиболее ярко эти отличия зафиксированы в работе [5] в  $\text{Cu}L_3$ -спектре  $\text{YBa}_2\text{Cu}_3\text{O}_{7-\delta}$  (рис. 1).

Авторы этой работы отнесли основной пик *A* белой линии при любых  $\delta$  к переходу  $\text{Cu}2p^63d^9 \rightarrow \text{Cu}2p^53d^{10}$ , а пик *B* при  $\delta = 0.07-0.30$  — к

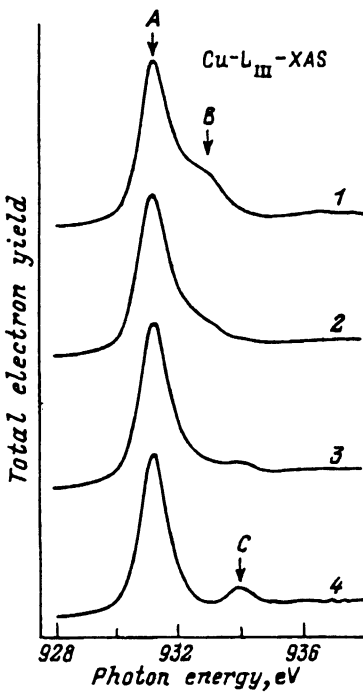


Рис. 1. Экспериментальный [5] спектр соединения  $\text{YBa}_2\text{Cu}_3\text{O}_{7-\delta}$  для различных  $\delta$ .

$\delta$ : 1 — 0.07, 2 — 0.29, 3 — 0.72, 4 — 0.92.

переходу  $\text{Cu}2p^63d^9L \rightarrow \text{Cu}2p^53d^{10}L$ , т. е. к проявлению эффектов сильных электронных корреляций, что хорошо соответствует результатам теоретической работы [6], где в рамках модели Андерсона исследовались процессы рентгеновского поглощения оставшегося  $2p$ -уровня меди соединения  $\text{YBa}_2\text{Cu}_3\text{O}_{7-\delta}$ . В результате повышения  $\delta$  (т. е. при уменьшении концентрации электронных вакансий) интенсивность пика  $B$  падает до нуля, а вместо него на расстоянии 2.8 eV проявляется пик  $C$ , который авторы, основываясь на энергетическом положении основного пика  $\text{Cu}L_3$ -спектра соединения  $\text{Cu}_2\text{O}_3$  [7], отнесли к проявлению ионов меди в состоянии окисления +1. Безусловно, такая интерпретация пика  $C$  заслуживает внимания, однако ни в [5], ни в [7] не была дана интерпретация механизма образования  $\text{Cu}L_3$ -спектра одновалентной меди. Более того, в [7] не были приведены абсолютные силы осцилляторов поглощения  $2p$ -орбиты меди ни в  $\text{YBa}_2\text{Cu}_3\text{O}_{7-\delta}$ , ни в  $\text{Cu}_2\text{O}$ , что, безусловно, не позволяет корректно анализировать  $\text{Cu}L_3$ -спектр сложной смешанной системы  $\text{YBa}_2\text{Cu}_3\text{O}_{7-\delta}$ , формируемый суперпозицией спектров различных типов ионов меди в состояниях окисления +1, +2 и +3. Таким образом, складывается впечатление, что даже включение в рассмотрение многоэлектронных эффектов не может объяснить все особенности  $\text{Cu}L_3$ -спектров меди содержащих ВТСП-материалов.

Механизм образования рентгеновских  $\text{Cu}L_3$ -спектров поглощения исследуемых соединений связан с возбуждением оставшегося  $2p$ -уровня меди рентгеновским квантом и переходом электрона либо на связанные состояния  $d$ -типа, либо на  $s$ - или  $d$ -орбиту в положительной обла-

сти энергии с последующим уходом из системы. Поскольку волновая функция фотоэлектрона принадлежит материнской системе, становится возможным рассчитывать матричные элементы рентгеновских переходов в одноэлектронном приближении.

Как было показано в известной работе [6], в нелегированной системе (с одной электронной вакансией на формульную единицу) существует только один рентгеновский переход  $2p^6 d_{x^2-y^2}^9 \rightarrow 2p^5 d^{10}$ , несмотря на то что в начальном состоянии за счет гибридизации вакантных состояний существуют две конфигурации типа  $d^9$  и две типа  $d^{10} L$ . Роль многоэлектронных эффектов в легированных системах (с более чем одной вакансией на формульную единицу) за счет появления вкладов  $Cud^8$ ,  $Cud^9 L$  и  $Cud^{10} LL$  конфигураций является гораздо более сильной. Это приводит к заметным различиям  $CuL_3$ -спектров внедренных электронных состояний допированных соединений от спектров нелегированных, выражющимся в появлении shake-up-сателлитов [1, 6, 7] у белой линии.

Целью настоящей работы является расчет поляризованных  $CuL_3$ -спектров поглощения в ВТСП-соединениях. Для системы  $La_{2-x}Sr_xCuO_4$  расчет проводился с учетом эффектов сильных электронных корреляций. Для учета этих эффектов мы используем точную диагонализацию гамильтониана многозонной  $p-d$ -модели для  $CuO_4$  кластера в рамках модели внезапного возмущения, что дает нам энергию и статистические веса различных многоэлектронных конфигураций конечных состояний. Матричные элементы рентгеновских переходов  $2p \rightarrow s(\varepsilon)$ ,  $d(\varepsilon)$  рассчитывались для кластеров  $CuO_6^{10-}$ ,  $CuO_6^{9-}$ ,  $CuO_5^{8-}$  и  $CuO_5^{7-}$  неэмпирическим методом самосогласованного поля  $X_\alpha$ -рассеянных волн (ССП  $X_\alpha$ -РВ), позволяющим наиболее последовательно рассчитывать спектры поглощения в одноэлектронном приближении. Результатирующие спектры синтезировались использованием формы линий, полученных методом ССП  $X_\alpha$ -РВ, и статистических весов и энергий конфигураций, полученных в многозонной  $p-d$ -модели. Для всех типов кластеров исследовалась зависимость ряда особенностей в спектрах выше порога ионизации от формы одноэлектронного потенциала  $d$ -состояний.

## 1. Многоэлектронное описание рентгеновского спектра поглощения

1) Ф о� м а п р е д с т а в л е н и я с п е к т р а . Рассмотрим вид спектра поглощения в приближении внезапного возмущения, вызванного образованием внутренней  $2p$ -дырки, более известном в одноэлектронных расчетах как модель Ларсона [8-11]. В медных ВТСП-оксидах необходимость учета многоэлектронных состояний возникает за счет сильного кулоновского взаимодействия остальной дырки с  $3d$ -электронами меди. В многоэлектронном подходе гамильтониан многозонной  $p-d$ -модели, описывающий валентное состояние меди и кислорода, может быть записан в дырочном представлении [12-14]:

$$H = H_d + H_p + H_{pp} + H_{pd},$$

$$H_d = \sum_r H_d(r),$$

$$H_d(r) = \sum_{\lambda\sigma} [(\varepsilon_{d\lambda} - \mu)d_{r\lambda\sigma}^+ d_{r\lambda\sigma} + (1/2)U_d n_{r\lambda}^\sigma n_{r\lambda}^{-\sigma}] + \\ + \sum_{\sigma\sigma'} \left( V_d n_{r1}^\sigma n_{r2}^{\sigma'} - J_d d_{r1\sigma}^+ d_{r1\sigma'} d_{r2\sigma'}^+ d_{r2\sigma} \right),$$

$$H_p = \sum_i H_p(i),$$

$$H_p(i) = \sum_{\alpha\sigma} [(\varepsilon_{p\alpha} - \mu)p_{i\alpha\sigma}^+ p_{i\alpha\sigma} + (1/2)U_p n_{1\alpha}^\sigma n_{i\alpha}^{-\sigma}] + \\ + \sum_{\sigma\sigma'} \left( V_p n_{i1}^{\sigma'} n_{i2}^{\sigma'} - J_p p_{i1\sigma}^+ p_{i1\sigma'} p_{i2\sigma'}^+ p_{i2\sigma} \right),$$

$$H_{pd} = \sum_{i,r} H_{pd}(i,r),$$

$$H_{pd}(i) = \sum_{\alpha\lambda\sigma} \left( T_{\lambda\alpha} p_{i\alpha\sigma}^+ d_{r\lambda\sigma} + \text{h.c.} + V_{\lambda\alpha} n_{r\lambda}^\sigma n_{i\alpha}^{\sigma'} - J_{\lambda\alpha} d_{r\lambda\alpha}^+ d_{r\lambda\sigma'} p_{i\alpha\sigma'}^+ p_{i\alpha\sigma} \right),$$

$$H_{pp} = \sum_{(i,j)} \sum_{\alpha\beta\sigma} (t_{\alpha\beta} p_{i\alpha\sigma}^+ p_{j\beta\sigma} + \text{h.c.}), \quad (1)$$

где  $\varepsilon_{p\alpha}$  и  $\varepsilon_{d\alpha}$  — одночастичные энергии  $p$ - и  $d$ -дырочных орбиталей  $\alpha$  и  $\lambda$  соответственно,  $U_p$ ,  $U_d$  — хаббардовские корреляции,  $V_p$ ,  $V_d$  — матричные элементы межатомного кулоновского отталкивания на одних и тех же и различных орбиталях кислорода и меди,  $J_p$ ,  $J_d$  — обменные хундловские интегралы на атомах кислорода и меди,  $T_{\lambda\alpha}$  и  $t_{\lambda\alpha}$  — матричные элементы  $p-d$ - и  $p-p$ -перескоков между ближайшими соседями,  $V_{\lambda\alpha}$  и  $J_{\lambda\alpha}$  — матричные элементы кулоновского и обменного взаимодействия между ближайшими соседями медь-кислород,  $\mu$  — химический потенциал, вычисляемый самосогласованно и находящийся внутри диэлектрической щели для нелегированной системы. Очевидно, что качество результатов, получаемых в этой модели, будет зависеть от выбранного базиса, поэтому необходимо учитывать, как минимум,  $d_{x^2-y^2}$ - и  $d_{z^2}$ -орбитали меди и  $p_x$ - и  $p_y$ -орбитали для всех атомов кислорода. Энергия  $d_{x^2-y^2}$ -орбитали выбиралась равной  $\varepsilon_d$ , тогда как энергия  $d_{z^2}$ -орбитали — равной  $\varepsilon_d + \Delta_d$ . Энергия  $p_{xy}$ -орбиталей выбиралась равной  $\varepsilon_p$ .

Первые два члена в (1) описывают внутриатомные взаимодействия, включая хаббардовские корреляции  $U_p$  и  $U_d$ , кулоновские межорбитальные взаимодействия и хундловский обмен. Последние два члена уравнений (1) соответствуют межатомным  $p-p$ - и  $p-d$ -перескокам и кулоновскому взаимодействию. Параметры гамильтониана (1) мы рассматриваем как эмпирические, они были определены при сопоставлении электронной структуры основного состояния  $\text{La}_2\text{CuO}_4$  с оптическими и магнитными данными [15].

$$U_p = U_d = \infty, \quad V_p = 3 \text{ eV}, \quad V_d = 4.5 \text{ eV}, \quad J_p = J_d = 0.5 \text{ eV},$$

$$T_{\lambda\alpha} = 1.5 \text{ eV}, \quad t_{\lambda\alpha} = 0.2 \text{ eV}, \quad V_{\lambda\alpha} = 0.6 \text{ eV}, \quad J_{\lambda\alpha} = 0.2 \text{ eV},$$

$$\varepsilon_d = 0, \quad \Delta_d = 1.5 \text{ eV}, \quad \varepsilon_p = 2 \text{ eV}.$$

Для уменьшения числа параметров и без потери общности самые большие кулоновские матричные элементы внутри одной орбитали считаются бесконечно большими. Состояние двух дырок в ячейке CuO<sub>4</sub> может быть синглетным (синглет Жанга–Райса [16]) или триплетным, причем, как показано в [17], при сравнительно небольших изменениях параметров возможен кроссовер между синглетом и триплетом. В нашем случае при  $\delta = \varepsilon_p - \varepsilon_d = 2 \text{ eV}$  основным состоянием двух дырок является триплет, а при  $\delta = 1.5 \text{ eV}$  — синглет.

Для рассматриваемого кластера CuO<sub>4</sub> с двумя вакансиями полный двухчастичный базис в пределе  $U_d = U_p = \infty$  содержит  $2^2 \cdot C_6^2 = 60$  состояний. Поскольку спин является квантовым числом, матрица гамильтониана в этом базисе разбивается на четыре блока, один из которых соответствует синглетному состоянию ( $15 \times 15$ ), а три — триплетным состояниям ( $6 \times 6, 8 \times 8$  и  $1 \times 1$ ). В результате точной диагонализации этих матриц мы получаем набор двухчастичных молекулярных состояний и их энергии с явным учетом сильных электронных корреляций. Отметим, что собственные состояния в двухдырочном кластере всегда являются смесью конфигураций  $d^8, d^9 \underline{L}$  и  $d^{10} \underline{\underline{L}}$ . Более подробно многозонная  $pd$ -модель, включая описание метода точной диагонализации кластера в конфигурации Cu $d^9$ , описана в [15].

Кулоновское взаимодействие дырок на Cu3d- и 2p-орбиталах в конечном состоянии описывается добавлением к (1) члена

$$H_{c,d} = V_{c,d} \sum_{\lambda\sigma} d_{r\lambda\sigma}^+ d_{r\lambda\sigma} n_{c\sigma}, \quad (2)$$

где  $n_{c\sigma}$  — оператор числа вакансий в 2p-орбитали. Нужно отметить, что в процессе образования CuL<sub>3</sub>-спектров возможно появление конечных состояний из 0-дырочного сектора (переход  $2p \rightarrow d(\varepsilon)$  в нелегированной системе), из однодырочного сектора (переходы  $2p \rightarrow s(\varepsilon)$  в нелегированной системе, переходы  $2p \rightarrow d(\varepsilon)$  в легированной) и двухдырочного сектора (переход  $2p \rightarrow s(\varepsilon)$  в легированной системе).

Многоэлектронная волновая функция системы до образования дырки на основной 2p-орбитали меди может быть записана в виде

$$\Psi_{in} = \varphi_{2p}^6 \Psi_{in,0}^{(pd)}, \quad (3)$$

где  $\varphi_{2p}$  — волновая функция 2p-электрона,  $\Psi_{in,0}^{(pd)}$  — волновая функция основного состояния системы валентных электронов меди и кислорода с энергией  $E_{in,0}^{(pd)}$ , описываемых гамильтонианом (1) при условии  $n_d + n_p + n_h = \text{const}$ , где  $n_d$  и  $n_p$  — концентрации дырок в d-состояниях меди и p-состояниях кислорода,  $n_h$  — число дырок в ячейке, равное 1 или 2 в зависимости от степени легирования.

Волновая функция системы в конечном состоянии может быть записана в виде

$$\varphi_f^{(m)} = \varphi_{2p}^5 \varphi_{s,d} \Psi_{f,m}^{(pd)}, \quad (4)$$

где  $\varphi_{s,d}$  — волновая функция фотоэлектрона в  $s$ - или  $d$ -состоянии, на которую переходит фотоэлектрон после возбуждения, с энергией  $\varepsilon_{s,d}$ ,  $\Psi_{f,m}^{(pd)}$  — функция терма с номером  $m$  системы  $p$ - и  $d$ -электронов в конечном состоянии с энергией  $E_{f,m}^{(pd)}$ . Здесь индекс  $m$  пробегает все возможные состояния гамильтониана  $H + H_{sd}$ , рассчитанные для состояния с вакансией в  $\text{Cu}2p$ -орбитали. Очевидно, что в результате процесса поглощения количество вакансий в валентной  $d$ -подзоне может уменьшиться на единицу, если переход произойдет на  $d$ -орбиталь с энергией, близкой к энергии вакантного связанного состояния, либо останется постоянным, если электрон перейдет в  $s$ -состояние или в  $d$ -состояние далеко за порогом ионизации. В данной работе считалось, что переход в  $s$ -состояния не меняет количества дырок в валентной зоне, а переход в  $d$ -состояния уменьшает его на единицу, при этом параметры модели не изменились. Энергии начального и конечного состояний равны

$$E_{\text{in}} = 6\varepsilon_{2p} + E_{\text{in},0}^{(pd)}, \quad E_{f,m} = 5\varepsilon_{2p} + \varepsilon_{s,d} + E_{f,m}^{(pd)}, \quad (5)$$

а энергия поглощаемого рентгеновского кванта

$$\hbar\omega = \varepsilon_{s,d} - \varepsilon_{2p} + \Delta E_m, \quad \Delta E_m = E_{f,m}^{(pd)} - E_{\text{in},0}^{(pd)}. \quad (6)$$

Электронная структура оксидов меди хорошо описывается в дырочном представлении, в котором мы и будем находить волновые функции и собственные значения энергии в секторах гильбертова пространства с фиксированным числом дырок  $n_h = 1, 2$  путем точной диагонализации гамильтониана (1) и (1)+(2).

В дырочном представлении энергия  $\Delta E_m$  в (6) просто сменит знак

$$\Delta E_m^{(h)} = -\Delta E_m. \quad (7)$$

Вероятность поглощения рентгеновского кванта при переходе в  $s$ -состояние (в случае неизменности количества  $d$ -вакансий) будет равна

$$W_m = \left| \left\langle \Psi_{\text{in}} | \mathbf{er} | \Psi_f^{(m)} \right\rangle \right|^2 = \left| \left\langle \varphi_{2p} | \mathbf{er} | \varphi_s \right\rangle \right|^2 \left| \left\langle \Psi_{\text{in},0}^{(pd)} | \Psi_{f,m}^{(pd)} \right\rangle \right|^2, \quad (8a)$$

а в случае перехода на  $d$ -орбиты (с уменьшением количества  $d$ -вакансий на единицу)

$$W_m = \left| \left\langle \Psi_{\text{in}} | \mathbf{er} | \Psi_f^{(m)} \right\rangle \right|^2 = \left| \left\langle \varphi_{2p} | \mathbf{er} | \varphi_s \right\rangle \right|^2 \left| \left\langle \Psi_{\text{in},0}^{(pd)} | d_{r\lambda\sigma} | \Psi_{f,m}^{(pd)} \right\rangle \right|^2. \quad (8b)$$

В случае отсутствия сильного кулоновского взаимодействия внутренней  $2p$ -дырки с валентными вакансиями ( $V_{pd} = 0$ ) состояния  $\Psi_{\text{in},0}^{(pd)}$  и  $\Psi_{f,m}^{(pd)}$  ортогональны, и последний сомножитель в (8a), (8b) равен  $\delta_{m,0}$ . В этом случае вероятность перехода определяется только матричным элементом  $\langle \varphi_{2p} | \mathbf{er} | \varphi_{s,d} \rangle$ , который вычисляется в одноэлектронном методе.

## Параметры рассчитываемых кластеров ВТСП-материалов

Оксисел	Литера-турная ссылка	Кластер	Точечная группа	Расстояние Cu–O, а.и.	Параметр $\alpha$ [23]	Радиус сфер, а.и.
YBaCuO	[22]	CuO <sub>5</sub> <sup>8-</sup>	$C_{4v}$	3.674 4.344	Cu = 0.707 O = 0.744 III = 0.7444 II = 0.735	Cu = 2.59 O <sub>1</sub> = 2.48 O <sub>2</sub> = 3.40 III = 6.58
YBaCuO	[22]	CuO <sub>5</sub> <sup>7-</sup>	$C_{4v}$	3.674 4.344	Cu = 0.707 O = 0.744 III = 0.7444 II = 0.735	Cu = 2.59 O <sub>1</sub> = 2.48 O <sub>2</sub> = 3.40 III = 6.58
LaCuO	[21]	CuO <sub>6</sub> <sup>10-</sup>	$D_{4h}$	3.579 4.588	Cu = 0.707 O = 0.744 III = 0.7444 II = 0.735	Cu = 2.14 O <sub>1</sub> = 2.05 O <sub>2</sub> = 2.45 III = 7.04
LaSrCuO	[21]	CuO <sub>6</sub> <sup>9-</sup>	$D_{4h}$	3.579 4.588	Cu = 0.707 O = 0.744 III = 0.7444 II = 0.735	Cu = 2.14 O <sub>1</sub> = 2.05 O <sub>2</sub> = 2.45 III = 7.04

Однако из-за кулоновского взаимодействия (2) состояния валентных  $p$ - и  $d$ -электронов (дырок) до и после фотоионизации неортогональны. Поэтому не только основной терм, но и различные возбужденные термы конечного состояния вносят вклад в спектр поглощения.

Обозначим интенсивности рентгеновского  $2p$ -поглощения, рассчитанные с учетом многоэлектронных эффектов и только в одноэлектронном подходе соответственно  $I_{XAS}(\omega)$  и  $I_{XAS}^{(0)}(\omega)$ . Введем также величину  $I_m(\Delta E)$  — спектр электронных  $p-d$ -переходов в валентной зоне, определяемый последними сомножителями в (8а), (8б). Спектр  $I_m$  состоит из набора  $\delta$ -функций, интенсивность главного пика пропорциональна многоэлектронным матричным элементам формул (8а), (8б) с  $\Psi_{f,0}$ , а сателлиты, отстоящие от главного пика на энергию  $E_{f,m}^{(pd)} - E_{f,0}^{(pd)}$ , имеют интенсивность, определяемую матричными элементами с волновыми функциями  $E_{f,m}^{(pd)}$  более высоко лежащих конфигураций с  $m \neq 0$ .

С учетом введенных обозначений из (8а), (8б) следует, что

$$I_{XAS}(\hbar\omega) = \sum_m I^{(0)} \left( \hbar\omega - \Delta E_m^{(h)} \right) I_m \left( \Delta E_m^{(h)} \right). \quad (9)$$

Таким образом, полный спектр поглощения является произведением двух спектров: дискретного спектра  $I_m$  переходов  $m$  внутри системы  $p$ - и  $d$ -электронов (дырок) и одноэлектронного спектра  $I^{(0)}$  переходов  $2p \rightarrow s(\varepsilon), d(\varepsilon)$  как до, так и за порогом ионизации.

2) Одноэлектронный расчет  $CuL_3$ -спектров поглощения. В настоящее время наиболее последовательным методом, применяемым для расчета рентгеновских спектров поглощения  $nd$ -металлов вблизи порога ионизации в одноэлектронном подходе, является метод самосогласованного поля  $X_\alpha$ -рассеянных волн (ССП  $X_\alpha$ -РВ) [18]. В данной работе для расчета электронной структуры кластеров  $CuO_6^{10-}$ ,  $CuO_6^9$  ( $La_{2-x}Sr_xCuO_4$ ) и  $CuO_5^8$ ,  $CuO_5^{7-}$  ( $YBa_2Cu_3O_{7-\delta}$ ), соответствующих состояниям меди +2 и +3, использовался программный комплекс  $X_\alpha$ -OMEGA [19], а для расчета электронных волновых функций и интенсивностей рентгеновских переходов  $Cu2p \rightarrow Cu(s)$ ,  $Cu(d)$  в диапазоне приближении во всей области энергий использовалась программа  $X_\alpha$ -CONTINUOUS [20]. Параметры рассчитываемых кластеров выбирались согласно межъядерным расстояниям [21, 22]. Параметры кластеров приведены в таблице.

Характерной особенностью метода ССП  $X_\alpha$ -РВ наряду с использованием обычного слэтеровского приближения на обменно-корреляционный член  $V_{ex} = -6\alpha[(3/8\pi)\rho(r)]^{1/3}$  (где  $\alpha$  — слэтеровская константа обменного взаимодействия, выбираемая для каждого типа атомов согласно работе [23]), а  $\rho(r)$  — полная электронная плотность в точке  $r$ ) является использование так называемого МТ-приближения формы потенциала, формируемого ядерным и электронным зарядами. Это приближение заключается в том, что все пространство молекулы или кластера разбивается на три типа областей: атомные сферы (тип 1), в центре которых находятся ядра атомов, с радиусами, выбираемыми по процедуре Нормана [24], межсферная область (тип 2) и внешняя сфера (тип 3), центр и радиус которой выбираются из условий минимизации медсферной области и касания атомных сфер. Внутри областей типов 1 и 3 потенциал сферически усредняется, а во второй области выбирается постоянным. Это приближение, на наш взгляд, достаточно грубое, однако оно позволяет в рамках техники рассеянных волн использовать очень широкий базис (вплоть до  $l = 12$ ) и рассчитывать электронные волновые функции и, следовательно, интенсивности рентгеновских переходов как до, так и за порогом ионизации.

3) Синтез результатирующих поляризованных спектров. Дипольные правила отбора в поляризованных  $CuL_3$ -спектрах определяются интегралом по трем угловым гармоникам

$$|\langle Y_{l_c m_c}(r)|Y_{l_\gamma m_\gamma}(r)|Y_{l_f m_f}(r)\rangle|^2, \quad (10)$$

где  $Y_{l_c m_c}(r)$  описывает начальное основное  $2p$ -состояние,  $Y_{l_\gamma m_\gamma}(r)$  описывает поляризованное фотонное поле, а  $Y_{l_f m_f}(r)$  — угловая гармоника конечного вакантного состояния  $s$ - или  $d$ -типа. Значение этих интегралов отлично от нуля только в случае  $m_c + m_\gamma + m_f = 0$  [25]. Тогда, согласно [1],  $z$ -поляризованный  $CuL_3$ -спектр будет выражаться как

$$I_z = 2/3 I_{2,0} + I_{2,1}, \quad (11a)$$

а  $xy$ -поляризованный спектр как

$$I_{xy} = I_{2,2} + 1/6 I_{2,0} + 1/2 I_{2,1}. \quad (11b)$$

Форма конечных спектров, учитывающих как плотность вакантных одноэлектронных состояний и степень легирования соединения  $\text{La}_{2-x}\text{Sr}_x\text{CuO}_4$ , так и эффекты сильных корреляций в легированных и нелегированных ячейках, синтезировалась сложением контуров одноэлектронных спектров по формулам (9), (11a) и (11b) с учетом соотношения (10). Так,  $xy$ -поляризованный спектр нелегированного  $\text{La}_2\text{CuO}_4$  формировался одноэлектронным переходом из конфигурации  $\text{Cu}d^9$  в единственную возможную конфигурацию  $\text{Cu}d^{10}$  с интенсивностью 0.3428 и энергией 2.03 eV с использованием одноэлектронных контуров компонент спектра, рассчитанных для кластера  $\text{CuO}_6^{10-}$  методом ССП  $X_\alpha$ -РВ. Поляризованные спектры ячеек с двумя вакансиями в триплетном основном состоянии более сложны: так,  $xy$ -компоненты формируются переходами из основного двухдырочного состояния в четыре конфигурации конечного состояния с вакансией в  $\text{Cu}2p$ -остовной орбитали из однодырочного сектора с весами 0.0560, 0.2241, 0.0037 и 0.0285, а  $z$ -компонента — с весами 0.2238, 0.0000, 0.0148 и 0.0000. Энергии этих четырех конфигураций соответственно равны 1.9405, 2.1424, 9.8151 и 10.3131 eV. Формы компонент этого спектра рассчитывалась методом ССП  $X_\alpha$ -РВ для кластера  $\text{CuO}_6^{9-}$ , моделирующего в одноэлектронном приближении состояние меди +3. Интегральная интенсивность поляризованных допороговых линий зависит только от заполнения соответствующих вакантных  $d$ -орбиталей ( $x^2 - y^2$  или  $z$ ) в начальном состоянии согласно правилам отбора по  $\Delta m$  (11a) и (11b), а количество многоэлектронных переходов зависит от количества конфигураций в конечном состоянии. В нашей модели мы не учитывали орторомбического искажения  $\text{CuO}_2$ -плоскости, что приводит к отсутствию белой линии в  $z$ -компоненте в спектрах недопированного соединения в нашей модели из-за отсутствия вклада  $d_{z^2}$ -орбитали в начальное состояние, тогда как появление ее в спектрах допированного соединения описывается как смешивание состояний  $d^8(d_{x^2-y^2} + d_{z^2})$  и  $d^9L(d_{z^2})$  с весами  $(0.38)^2$  и  $(-0.46)^2$  соответственно.

$\text{Cu}L_3$ -спектры синглетного состояния синтезировались по той же методике. Интенсивности переходов в конечные конфигурации в  $zy$ -поляризованном спектре составили 0.222, 0.001, 0.042 и 0.000, а в  $z$ -поляризации — 0.000, 0.005, 0.000 и 0.002, энергии конфигураций равны 2.139, 2.280, 10.363 и 10.956 eV соответственно. Как видно, в синглетном состоянии плотность связанных вакантных  $d_{z^2}$ -состояний практически равна нулю.

Спектр легированного соединения  $\text{La}_{2-x}\text{Sr}_x\text{CuO}_4$  с  $x = 0$  строился из спектра  $\text{La}_2\text{CuO}_4$  с весом 0.8 и спектра (синглетного или триплетного)  $\text{LaSrCuO}_4$  с соответствующими весами.

Подчеркнем, что приведенные здесь веса и энергии различных многоэлектронных конфигураций получены с использованием фиксированных ранее значений параметров гамильтониана (1) [15], эти параметры не рассматривались как подгоночные и не варьировались в данной работе.

## 2. Обсуждение результатов

1) Соединение  $\text{La}_{2-x}\text{Sr}_x\text{CuO}_4$ . На рис. 2, а изображены экспериментальные  $\text{CuL}_3$ -векторы  $\text{La}_2\text{CuO}_4$  и  $\text{La}_{1.92}\text{Sr}_{0.08}\text{CuO}_4$  [1] в *ху*-поляризации, на рис. 2, б показаны теоретические *ху*-поляризованные спектры соединений  $\text{La}_2\text{CuO}_4$ ,  $\text{LaSrCuO}_4$  и  $\text{La}_{1.92}\text{Sr}_{0.08}\text{CuO}_4$  в случае, когда основным двухдырочным состоянием является триплет, а на рис. 2, с представлены теоретические *ху*-поляризованные спектры соединений  $\text{La}_2\text{CuO}_4$ ,  $\text{LaSrCuO}_4$  и  $\text{La}_{1.92}\text{Sr}_{0.08}\text{CuO}_4$  в случае, когда основным двухдырочным состоянием является синглет.

На рис. 3, а изображены экспериментальные  $\text{CuL}_3$ -спектры  $\text{La}_2\text{CuO}_4$  и  $\text{La}_{1.92}\text{Sr}_{0.08}\text{CuO}_4$  [1] в *z*-поляризации, на рис. 3, б — теоретические *z*-поляризованные спектры соединений  $\text{La}_2\text{CuO}_4$ ,  $\text{LaSrCuO}_4$  и  $\text{La}_{1.92}\text{Sr}_{0.08}\text{CuO}_4$  в случае, когда основным двухдырочным состоянием является триплет, а на рис. 3, с — теоретические *z*-поляризованные спектры соединений  $\text{La}_2\text{CuO}_4$ ,  $\text{LaSrCuO}_4$  и  $\text{La}_{1.92}\text{Sr}_{0.08}\text{CuO}_4$  в случае, когда основным двухдырочным состоянием является синглет.

В *ху*-поляризации как экспериментального, так и теоретического спектра нелегированного соединения  $\text{La}_2\text{CuO}_4$  (рис. 2) отсутствуют какие-либо недиаграммные линии до порога ионизации. Однако в экспериментальном *z*-поляризованном спектре (рис. 3) видна достаточно интенсивная белая линия, полностью отсутствующая в теоретическом спектре. Это отличие связано с тем, что в данной работе не учитывалось орторомбическое искажение  $\text{CuO}_2$ -плоскости, которое, как было показано в работе [26], приводит к подобному эффекту. Форма линии запороговой части спектров как в *z*, так и в *ху*-поляризации, как это отмечалось ранее в одноэлектронном подходе [2], описывается удовлетворительно.

Основным отличием экспериментальных спектров легированного соединения от спектров нелегированного является резкое увеличение интенсивности белой линии в *z*-поляризации (рис. 3). Отсутствие белой линии в теоретическом *z*-поляризованном спектре легированного соединения в синглетном основном состоянии и присутствие ее в триплетном (рис. 3) говорит о том, что основным состоянием в ячейках с двумя электронными вакансиями является триплет. Белая линия в этом случае формируется переходом из основного состояния в конечное состояние с  $\text{Cu}2p$ -вакансиеи и существенным заполнением  $d_{z^2}$ -состояний в орбитах  $d^8(d_{x^2-y^2} + d_{z^2})$  и  $d^9L(d_{z^2})$  (веса  $0.38^2$  и  $(-0.46)^2$  соответственно), с энергией перехода  $1.94 \text{ eV}$  и интенсивностью  $0.2238$ . Интенсивность перехода, соответствующего белой линии, в *z*-поляризации для второй по энергии конфигурации равна нулю.

Наша модель удовлетворительно описывает малоинтенсивный длинноволновый сателлит в *ху*-поляризации, формируемый первой по энергии конфигурацией конечного состояния с остаткой  $2p$ -вакансии (интенсивность перехода  $0.0560$ ) и зафиксированный в экспериментальном спектре (рис. 3) с энергией, лежащей на  $0.4 \text{ eV}$  ниже белой линии [1]. Белая линия в *ху*-поляризации в триплетном состоянии формируется второй по энергии конфигурацией с энергией перехода, равной  $2.14 \text{ eV}$ , и интенсивностью  $0.2241$ . Интенсивности переходов в две последующие высокоэнергетические конфигурации с энергиями переходов  $9.82$  и  $10.31 \text{ eV}$  в этих спектрах практически равны нулю, поэтому белые

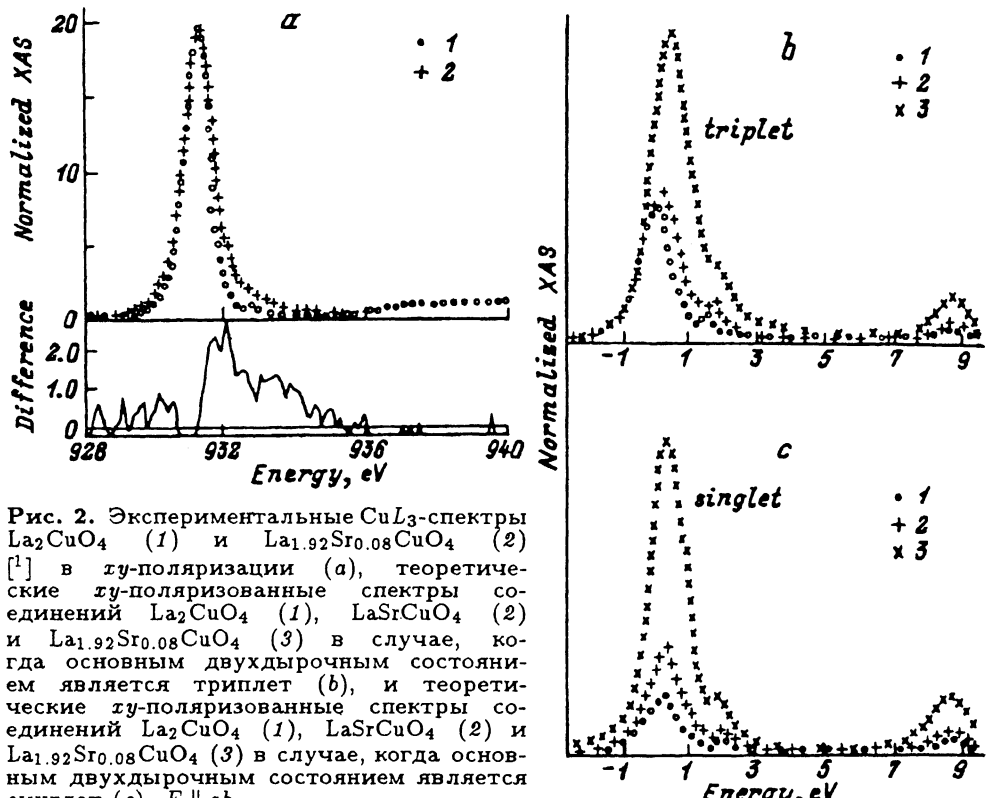


Рис. 2. Экспериментальные  $\text{CuL}_3$ -спектры  $\text{La}_2\text{CuO}_4$  (1) и  $\text{La}_{1.92}\text{Sr}_{0.08}\text{CuO}_4$  (2) [1] в  $xy$ -поляризации (а), теоретические  $xy$ -поляризованные спектры соединений  $\text{La}_2\text{CuO}_4$  (1),  $\text{LaSrCuO}_4$  (2) и  $\text{La}_{1.92}\text{Sr}_{0.08}\text{CuO}_4$  (3) в случае, когда основным двухдырочным состоянием является триплет (б), и теоретические  $xy$ -поляризованные спектры соединений  $\text{La}_2\text{CuO}_4$  (1),  $\text{LaSrCuO}_4$  (2) и  $\text{La}_{1.92}\text{Sr}_{0.08}\text{CuO}_4$  (3) в случае, когда основным двухдырочным состоянием является синглет (с).  $E \parallel ab$ .

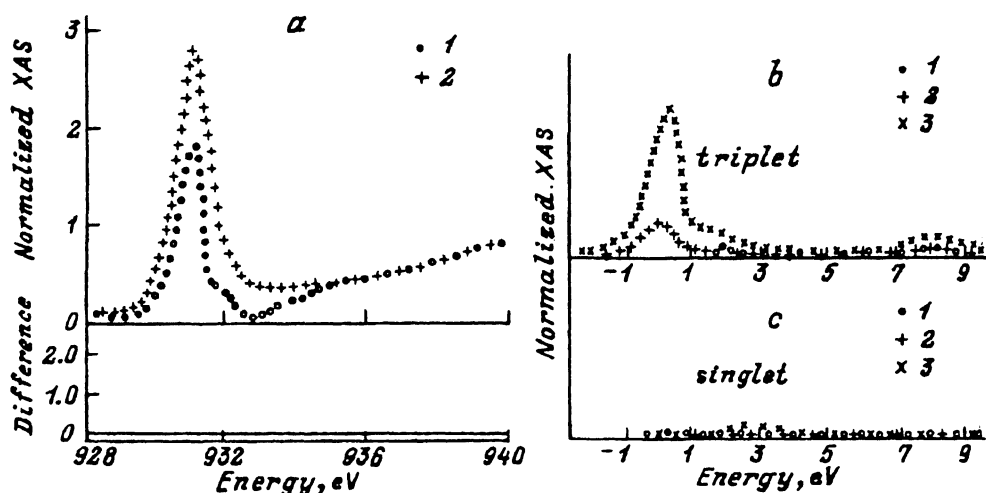


Рис. 3. Экспериментальные  $\text{CuL}_3$ -спектры  $\text{La}_2\text{CuO}_4$  (1) и  $\text{La}_{1.92}\text{Sr}_{0.08}\text{CuO}_4$  (2) [1] в  $z$ -поляризации (а), теоретические  $z$ -поляризованные спектры соединений  $\text{La}_2\text{CuO}_4$  (1),  $\text{LaSrCuO}_4$  (2) и  $\text{La}_{1.92}\text{Sr}_{0.08}\text{CuO}_4$  (3) в случае, когда основным двухдырочным состоянием является триплет (б), теоретические  $z$ -поляризованные спектры соединений  $\text{La}_2\text{CuO}_4$  (1),  $\text{LaSrCuO}_4$  (2) и  $\text{La}_{1.92}\text{Sr}_{0.08}\text{CuO}_4$  (3) в случае, когда основным двухдырочным состоянием является синглет (с).  $E \parallel c$ .

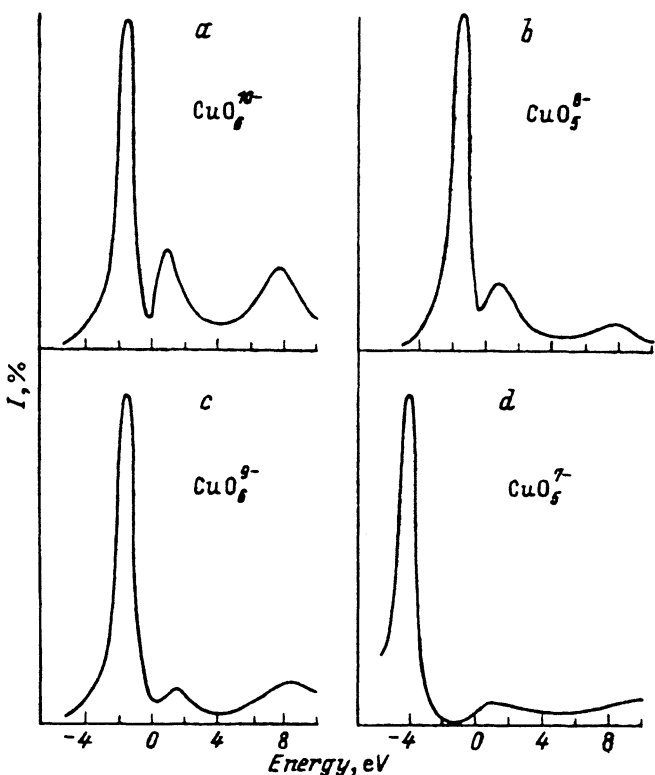


Рис. 4. Одноэлектронные  $\text{CuL}_3$ -спектры кластеров  $\text{CuO}_6^{10-}$  и  $\text{CuO}_6^{9-}$  (a),  $\text{CuO}_5^{8-}$  и  $\text{CuO}_5^{7-}$  (b).

линии, относимые к ним, практически не проявляются в запороговых областях этих спектров. Запороговая часть этих спектров в основном формируется суперпозицией линий первых двух конфигураций. Малое энергетическое расщепление между ними и большие (по сравнению с белой линией) полуширины особенностей приводят только лишь к небольшому заплыванию спектров в положительной области. В отличие от работы [4] в наших расчетах зафиксирована заметная интенсивность  $s$ -состояний в запороговой области (энергия пика около 8 eV), что мы связываем прежде всего с кластерным эффектом. Природа слабо выраженного плеча в теоретических спектрах с энергией примерно 2 eV в обеих поляризациях является одноэлектронной и будет обсуждаться далее.

2) Соединение  $\text{YBa}_2\text{Cu}_3\text{O}_{7-\delta}$ . Как было показано выше, в  $\text{CuL}_3$ -спектре соединения  $\text{YBa}_2\text{Cu}_3\text{O}_{7-\delta}$  наибольший интерес представляет коротковолновый сателлит, отстоящий на 2.8 eV от белой линии при значении  $\delta$ , близком к единице. В этом случае ( $\delta \approx 1$ ) в системе отсутствуют двухдырочные высококоррелированные электронные состояния, поэтому моделирование электронной структуры  $\text{YBa}_2\text{Cu}_3\text{O}_{7-\delta}$  проводилось только в одноэлектронном кластерном подходе ССП  $X_\alpha$ -РВ для кластеров  $\text{CuO}_5^{8-}$  и  $\text{CuO}_5^{-}$ . Спектр кластера  $\text{CuO}_5^{8-}$  соответствует степени окисления +2 иона меди второго ти-

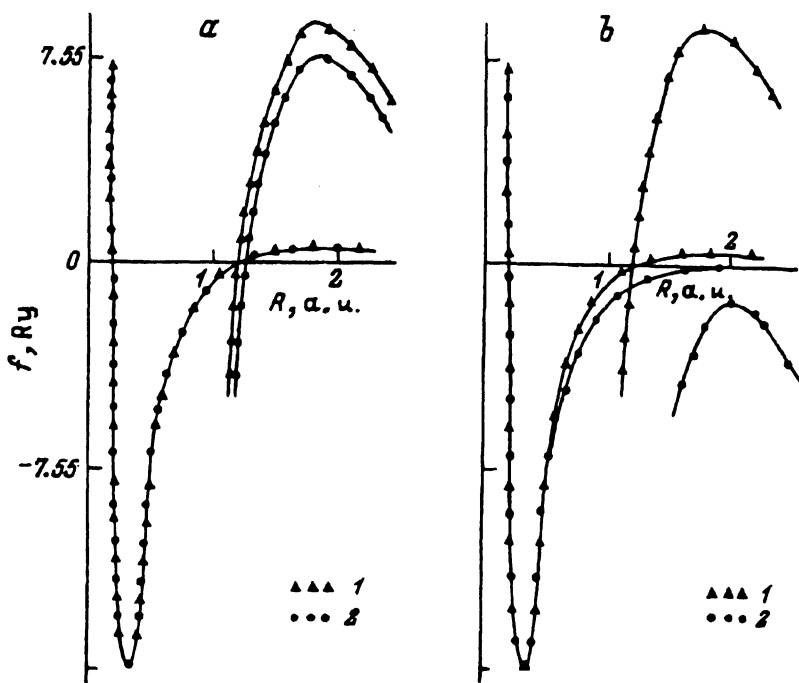


Рис. 5. Одноэлектронные потенциалы Cu-d-состояний кластеров  $\text{CuO}_6^{10-}$  (1) и  $\text{CuO}_6^{9-}$  (2) (а),  $\text{CuO}_5^{8-}$  (1) и  $\text{CuO}_5^{7-}$  (2) (б).

па в кислорододефицитном соединении  $\text{YBa}_2\text{Cu}_3\text{O}_6$ , а спектр кластера  $\text{CuO}_5^-$  — степени окисления +3 иона меди второго типа, наблюдаемой в соединении  $\text{YBa}_2\text{Cu}_3\text{O}_7$ . Формально состояние окисления ионов меди второго типа в последнем случае равно +2.5, однако, учитывая хорошо известный факт [1, 27], что один центр легирования в ВТСП-соединениях действует на два иона меди, мы считали, что кластер  $\text{CuO}_5^-$  хорошо описывает электронную структуру меди в при  $\delta \approx 0$ .

На рис. 4 приведены теоретические  $\text{Cu}L_3$ -спектры этих кластеров. Интерпретация соответствующих экспериментальных спектров (рис. 1), данная авторами работы [5], приводилась выше. Как хорошо видно, в спектрах обоих кластеров присутствует интенсивное коротковолновое плечо, отстоящее от белой линии на 2.8 eV и аналогичное пику  $C$  в экспериментальных спектрах соединения  $\text{YBa}_2\text{Cu}_3\text{O}_{7-\delta}$  (рис. 1) с большим  $\delta$ . Так же как и в эксперименте, переход от одной ваканси на одну формульную единицу к двум вакансиям (что эквивалентно уменьшению заряда кластера на единицу при неизменности атомного окружения меди или же  $\text{CuO}_5^{8-} \rightarrow \text{CuO}_5^{7-}$ ) приводит к резкому снижению интенсивности этого пика. С уменьшением  $\delta$  (т. е. при увеличении концентрации электронных вакансий) интенсивность пика  $C$  падает и вместо него возникает интенсивный сателлит  $B$ , который, согласно [5], и связан с проявлением сильных электронных корреляций. Объяснение возникновения пика  $C$  при переходе к кислорододефицитным системам, на наш взгляд, можно получить из анализа одноэлектронных

*Cud*-потенциалов. Как видно (рис. 5), потенциалы *Cud*-состояний кластеров  $\text{Cu}_6\text{O}_6^{10-}$  и  $\text{Cu}_5\text{O}_5^{8-}$ , соответствующих состоянию меди +2, имеют горб в положительной области аналогично потенциальному *f*-электронов в редкоземельных элементах [27]. Наличие такого барьера в потенциале приводит к появлению квазистационарных электронных состояний в положительной области энергии, которые в свою очередь проявляются в спектрах поглощения как высокointенсивные недиаграммные линии (спектры гигантского резонанса в лантаноидах) [28].

Однако в отличие от *f*-состояний потенциал *Cud*-электронов чувствителен к особенностям атомного окружения и химической связи. Так, сравнение расчетных данных для кластеров меди +2 ( $\text{Cu}_6\text{O}_6^{10-}$  и  $\text{Cu}_5\text{O}_5^{8-}$ ) с данными для кластеров меди +3 ( $\text{Cu}_6\text{O}_6^{9-}$  и  $\text{Cu}_5\text{O}_5^{7-}$ ), что эквивалентно переходу от одной вакансии на формульную единицу к двум, показывает, что происходит понижение положительного барьера потенциала (рис. 5), существенно более сильно выраженное в кластере  $\text{Cu}_5\text{O}_5^{7-}$ , что в свою очередь приводит к сильному уменьшению интенсивности порогового сингулита. Относительно небольшое изменение высоты барьера в кластере  $\text{Cu}_6\text{O}_6^{9-}$ , на наш взгляд, является причиной того, что при уменьшении степени легирования  $x$  в соединении  $\text{La}_{2-x}\text{Sr}_x\text{CuO}_4$  структура, аналогичная пику *C* в иттриевой керамике, не выделяется в запороговой области, как это происходит в системе  $\text{YBa}_2\text{Cu}_3\text{O}_{7-\delta}$ . Таким образом, нельзя исключать тот факт, что в  $\text{Cu}L_3$ -спектрах ВТСП-соединений с большой концентрацией ионов  $\text{Cu}^{2+}$  могут наблюдаться линии, обусловленные положительным барьером в *Cud*-потенциалах, который порождает высокую плотность квазистационарных *Cud*-состояний вблизи порога ионизации. Повышение степени окисления меди приводит к понижению барьера и в свою очередь к сильному падению интенсивности пика, отражающего плотность квазистационарных состояний в положительной области энергии.

Таким образом, на основании теоретических расчетов мы можем сделать следующие выводы.

1) Процесс легирования  $\text{La}_2\text{CuO}_4$  приводит к увеличению плотности вакантных  $\text{Cu}d_{z^2}$ -орбиталей. Основным состоянием двух вакансий на одну формульную единицу в соединениях типа  $\text{La}_{2-x}\text{Sr}_x\text{CuO}_4$  является тройной, который хорошо описывает как  $xy$ -, так и  $z$ -поляризованные  $\text{Cu}L_3$ -спектры этого соединения. Белую линию  $z$ -поляризованного спектра формирует первая конфигурация конечного состояния с основной  $\text{Cu}2p$ -дыркой, а  $xy$ -спектра — вторая возбужденная относительно основного состояния конфигурация с энергией 0.2 eV.

2) Влияние эффектов сильных электронных корреляций на запороговую часть спектров мало из-за незначительного энергетического расщепления первых двух конфигураций конечного состояния и большой естественной полуширины пиков в этой спектральной области.

3) В  $\text{Cu}L_3$ -спектрах соединения  $\text{YBa}_2\text{Cu}_3\text{O}_{7-\delta}$  интенсивность пика, лежащего на 2.8 eV выше белой линии, отражает высоту потенциально-го барьера *Cud*-состояний, который резко уменьшается при повышении степени окисления меди.

Авторы благодарят Научный совет по проблеме ВТСП за поддержку в рамках проекта 95027 Государственной программы «Высокотемпературная сверхпроводимость» и Международный научный фонд за поддержку в рамках проекта JD6100.

### Список литературы

- [1] M. Pompa, C. Li, A. Bianconi, A. Congiu Castellano, S. Della Longa, A.M. Flank, P. Lagarde, D. Udrone. *Physica C184*, 51 (1991).
- [2] P.V. Avramov, S.Ph. Rusankin, G.M. Zhidomorov. *Phys. Rev. B46*, 6495 (1992).
- [3] Y. Seino, A. Kotani, A. Bianconi. *J. Phys. Soc. Jpn.* **59**, 815 (1990).
- [4] M. Pompa, P. Castricci, C. Li, D. Udrone, A.-M. Flank, P. Lagarde, H. Katayama-Yosida, S. Della Longa, A. Bianconi. *Physica C184*, 102 (1991).
- [5] O. Strbel, G. Kaindl, A. Kolodziejczyk, W. Shafer, R. Kiemel, S. Loorsch, S. Kemmler-Sack. *J. Magn. Magn. Mater.* **76 & 77**, 97 (1988).
- [6] Y. Seino, K. Okada, A. Kotani. *J. Phys. Soc. Jpn.* **59**, 1384 (1990).
- [7] A. Bianconi, A.C. Castellano, M. de Santis, P. Rudolf, P. Lagarde, A.M. Flank, A. Marcelli. *Solid State Commun.* **63**, 1009 (1987).
- [8] S. Larson. *Chem. Phys. Lett.* **32**, 401 (1974).
- [9] S. Larson. *Chem. Phys. Lett.* **40**, 362 (1976).
- [10] S. Larson. *Phys. Scripta* **21**, 558 (1980).
- [11] S. Larson, M. Braga. *Chem. Phys. Lett.* **48**, 596 (1977).
- [12] V.J. Emery. *Phys. Rev. Lett.* **58**, 2794 (1987).
- [13] C.M. Varma, S. Schmitt-Rink, E. Abrahams. *Solid State Commun.* **62**, 681 (1987).
- [14] Yu.B. Gaididei, V.B. Lektev. *Phys. Stat. Sol. (b)* **174**, 147 (1988).
- [15] С.Г. Овчинников. *ЖЭТФ* **102**, 127 (1992).
- [16] F.C. Zhang, T.M. Rice. *Phys. Rev. B37*, 3559 (1988).
- [17] S.G. Ovchinnikov. *Mod. Phys. Lett.* **B5**, 531 (1991).
- [18] F.W. Kutzler, C.R. Natoli, D.K. Misimer, S. Doniach, K.O. Hodson. *J. Chem. Phys.* **73**, 3274 (1980).
- [19] С.Ф. Рузанкин. *ЖСХ* **20**, 953 (1979).
- [20] С.Ф. Рузанкин, В.И. Неманова, А.В. Кондратенко. *ЖСХ* **27**, 162 (1986).
- [21] J.D. Jorgensen, H.-B. Schutter, D.G. Hinks. *Phys. Rev. Lett.* **58**, 1024 (1987).
- [22] P. Bordet, C. Chailont, J.J. Capponi, J. Chenares, M. Maresio. *Nature* **327**, 687 (1987).
- [23] K. Schwarz. *Phys. Rev. B5*, 2466 (1972).
- [24] J.G. Norman. *J. Chem. Phys.* **61**, 4630 (1974).
- [25] Л.Д. Ландау, Е.М. Лифшиц. Квантовая механика. Нерелятивистская теория. Гос. Изд-во физ.-мат. лит. М. (1963).
- [26] С.Г. Овчинников. *ФТТ* **35**, 3, 617 (1993).
- [27] U. Fano, J. Cooper. *Rev. Mod. Phys.* **40**, 441 (1976).
- [28] Т.М. Зимкина, А.С. Шулаков, А.Р. Брайко. *ФТТ* **23**, 7, 2006 (1981).